

# تبدیل موجک و کاربردهای آن برای پایش وضعیت ارتعاشی تجهیزات دوار (روش‌ها، راه کارها و مثال‌های عملی)

حمید سعیدی سورک

عضو هیأت علمی دانشکده مهندسی برق  
دانشگاه یزد  
saeedi@yazd.ac.ir

حسین وروانی فراهانی\*

دانشجوی دکتری مهندسی مکانیک، دانشکده مهندسی مکانیک  
دانشگاه یزد  
farahani@stu.yazd.ac.ir

تاریخ پذیرش: ۱۳۹۶/۰۵/۰۸

تاریخ دریافت: ۱۳۹۵/۱۲/۱۱

## چکیده

ماشین آلات دوار به عنوان نیروی محركه صنعت، نقش مهمی در فرآیند تولید و نیز فرآیندهای جانبی آن دارند. لذا پایش وضعیت و تشخیص به موقع عیوب آنها به منظور افزایش قابلیت اطمینان، بخش مهمی از برنامه‌های نگهداری و تعمیرات به شمار می‌رود. با توسعه دانش فنی در زمینه تکنیک‌های پردازش سیگنال، کارآیی برنامه پایش وضعیت ارتعاشات در حال افزایش است. روش‌های مرسوم مانند مطالعه مستقیم سیگنال زمانی و یا تبدیل فوریه آن، اگر چه مزایای زیادی دارند، اما دچار محدودیت‌هایی نیز هستند. امروزه روش‌های جدیدی مانند تبدیل موجک، برای پوشش این محدودیت‌ها و باز کردن افق‌های جدید در زمینه پایش وضعیت ارتعاشی مطرح شده‌اند. این مقاله با هدف شناسایی زمینه‌های کاربرد تبدیل موجک در پایش وضعیت ارتعاشی، تدوین شده است. در ابتدا، مقدمه‌ای بر تبدیل موجک بیان شده و سپس کاربردهای مختلف آن در پایش وضعیت ارتعاشی ماشین آلات دوار بررسی شده است. به علاوه برای درک بهتر، مثال‌های عملی متعددی نیز طرح شده و مورد بحث قرار گرفته است. در خلال این مثال‌ها نشان داده شده است که تبدیل موجک، ابزاری مؤثر برای ارتقاء برنامه پایش وضعیت ارتعاشی ماشین آلات دوار است.

**واژگان کلیدی:** حوزه زمان- فرکانس، تبدیل موجک، پایش وضعیت، سیگنال ارتعاشات، ماشین آلات دوار

می‌شود. برای تشخیص به موقع این وضعیت و انجام اقدامات اصلاحی با هدف بازگشت به شرایط مطلوب، از روش‌های مختلف پایش وضعیت به ویژه ارتعاش سنجی<sup>۱</sup> و تحلیل سیگنال ارتعاشات استفاده می‌شود [۱].

به واسطه متفاوت بودن شرایط کاری انواع ماشین آلات، گستردگی و تنوع عیوب قابل وقوع در آنها و نیز اثرات ناشی

## ۱. مقدمه

حفظ کارکرد پایدار و قابلیت اطمینان بالا، یکی از اهداف اصلی در برنامه‌های نگهداری و تعمیرات ماشین آلات دوار است. این درحالی است که کارکرد این دسته از تجهیزات، بر اثر استفاده روزمره و روند استهلاک عادی آنها و یا به واسطه بروز شرایط غیرعادی و تسریع در روند خرابی، دچار اختلال

مطالعه قرار گیرد [۱]. در ادامه هر یک از روش‌های فوق به اختصار معرفی خواهد شد.

### ۱-۲. بررسی در حوزه زمان

اساس تحلیل ارتعاشات ماشین‌آلات دوار با هدف پایش وضعیت و عیب‌یابی، بر اندازه‌گیری و ثبت سیگنال ارتعاشات به کمک سنسور ارتعاشات استوار است. سیگنالی که بدین طریق به دست می‌آید، سیگنال زمانی یا اصطلاحاً شکل موج ارتعاشات نامیده می‌شود. یکی از روش‌های مرسوم برای آنالیز، مطالعه مستقیم این سیگنال است. بررسی دامنه برای تعیین شدت عیب، بررسی مؤلفه‌های ارتعاشی غالب و تشخیص فرکانس وقوع آنها، بررسی پدیده‌های خاصی مانند ضربان<sup>۴</sup> و مدولاسیون، تشخیص بارهای ضربه‌ای، بررسی تقارن یا عدم تقارن سیگنال نسبت به محور دامنه و نیز نسبت به محور زمان از جمله روش‌های بررسی مستقیم سیگنال ارتعاشات در حوزه زمان به‌شمار می‌روند [۴]. این روش در شرایطی که یک عیب یا پدیده غالب در الگوی ارتعاشی وجود داشته باشد، روش مؤثری محسوب می‌شود. اما در صورتی که عیوب مختلفی به صورت همزمان وجود داشته باشند و یا میزان نویز موجود در سیگنال بالا باشد، این روش کارآیی خود را از دست داده و یا کارآیی آن کم خواهد شد.

### ۲-۱. بررسی در حوزه فرکانس

با اعمال تبدیل فوریه بر روی سیگنال زمانی ارتعاشات، امکان بررسی آن در حوزه فرکانس فراهم می‌شود. تبدیل فوریه، میزان شباهت سیگنال را با مجموعه‌ای از خانواده توابع سینوسی و کسینوسی با فرکانس‌های مختلف، سنجیده و وزن هر یک از این توابع را در تشکیل سیگنال مورد نظر تعیین می‌کند. از این طریق، محتوای فرکانسی سیگنال شناسایی می‌شود. تبدیل فوریه پیوسته بر اساس رابطه‌ی ۱ به دست می‌آید [۱]:

از شدت عیب در مراحل مختلف، رخ دادن عیوب منجر به ایجاد شرایط ارتعاشی متعدد و پیچیده‌ای می‌شود. لذا برای بررسی دقیق وضعیت ارتعاشی ماشین و عیب‌یابی مؤثر، لازم است تا از تکنیک‌های مختلف تحلیل ارتعاشات استفاده شود. برخی از این تکنیک‌ها شامل تحلیل سیگنال ارتعاشات در حوزه زمان، تحلیل سیگنال ارتعاشات در حوزه فرکانس، تحلیل سیگنال در حوزه زمان-فرکانس<sup>۲</sup>، بررسی زاویه فاز ارتعاشات، دمودلاسیون<sup>۳</sup> سیگنال ارتعاشات و ... می‌باشد که هر یک از این تکنیک‌ها، دارای مزایا و محدودیت‌های خاص خود است [۱].

امروزه علاوه‌بر استفاده از این تکنیک‌ها، روش‌های پردازشی جدیدی مانند تبدیل موجک نیز در حال رایج شدن است. قابلیت‌ها و توانمندی‌های تبدیل موجک در این زمینه به حدی است که طی سال‌های گذشته، مورد توجه پژوهشگران زیادی قرار گرفته است. برای مرور کلی پژوهش‌های انجام شده در این زمینه، مراجع [۲] و [۳] را ببینید.

در این مقاله سعی شده است تا ضمن مرور اجمالی روش‌های تحلیل سیگنال‌های ارتعاشی، تبدیل موجک معرفی شده و مفاهیم پایه آن توضیح داده شود. همچنین سعی شده تا توانمندی‌های تبدیل موجک و روش‌های مختلف مبتنی بر آن در راستای پایش وضعیت ارتعاشی ماشین‌آلات دوار، نشان داده شود. لذا در بخش ۲ این مقاله، روش‌های تحلیل سیگنال ارتعاشات معرفی خواهند شد. در بخش ۳، مقدمه‌ای بر تبدیل موجک بیان می‌شود. بخش ۴ به روش‌های مختلف مبتنی بر تبدیل موجک در آنالیز ارتعاشات همراه با ارائه مثال‌های عملی اختصاص یافته است. در بخش ۵، برخی مفاهیم پایه در عیب‌یابی یاتاقان‌های غلتشی و چرخ‌دنده‌ها مرور شده و در نهایت، نتیجه‌گیری در بخش ۶ آمده است.

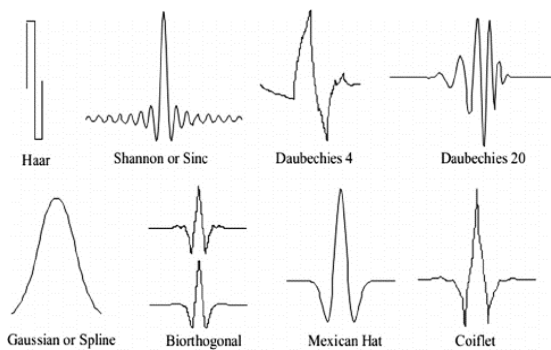
### ۲. روش‌های تحلیل سیگنال ارتعاشات

به طور کلی یک سیگنال ارتعاشات می‌تواند در حوزه زمان، حوزه فرکانس و یا حوزه‌ی مشترک زمان-فرکانس مورد

این درحالی است که برای بررسی فرکانس‌های پایین، قدرت تفکیک بالاتری نسبت به فرکانس‌های بالاتر مورد نیاز است. همچنین در تبدیل ویگنر ویل برای سیگنال‌هایی که دارای بیش از یک مؤلفه‌ی فرکانسی هستند، مؤلفه‌های متقاطع<sup>۱۰</sup> و غیرواقعی به سیگنال اضافه می‌شود که کار بررسی را دشوار می‌کند.

### ۳. مقدمه‌ای بر تبدیل موجک

تبدیل موجک<sup>۱۱</sup>، یکی دیگر از روش‌های بررسی در حوزه زمان مشترک زمان–فرکانس است. در این روش، به جای استفاده از توابع سینوسی و کسینوسی (مانند تبدیل فوریه)، از توابع به نام موجک استفاده می‌شود. شکل ۱ چند نمونه از توابع موجک مختلف را در حوزه زمان نمایش می‌دهد.



شکل ۱. خانواده‌ای از موجک‌های مختلف در حوزه زمان [۵]

هنگام پیاده‌سازی تبدیل موجک، تابع موجک شکل خود را حفظ می‌کند اما در طول سیگنال، جایه‌جا شده و نیز در طی جایه‌جا شدن، فشرده و باز می‌شود و بدین ترتیب، کل سیگنال را در می‌نوردد. این روش برخلاف تبدیل فوریه زمان کوتاه، قادر است تا قدرت تفکیک متفاوتی را برای محدوده‌های فرکانس پایین و بالا ایجاد نماید [۲].

#### ۳-۱. تبدیل موجک پیوسته و معکوس آن

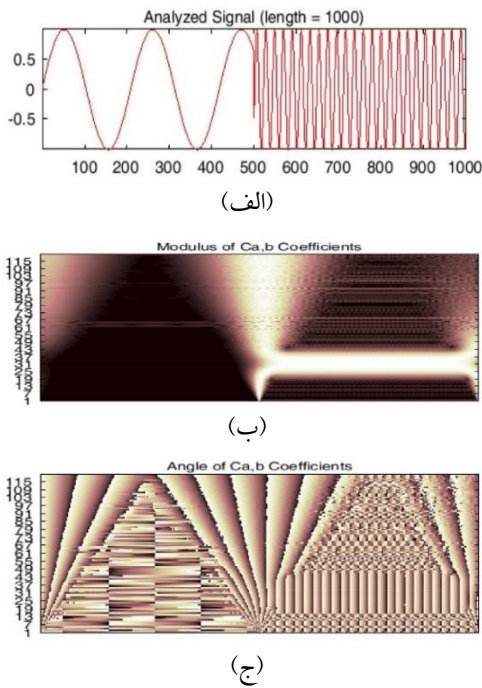
تبدیل موجک پیوسته سیگنال ارتعاشی ( $x(t)$ )، بر اساس رابطه ۲ به دست می‌آید [۲]:

$$G(f) = \int_{-\infty}^{\infty} g(t) \exp(-j2\pi ft) dt \quad (1)$$

در این رابطه،  $g(t)$  سیگنال ارتعاشات،  $f$  فرکانس و  $t$  زمان بوده و  $G(f)$  به عنوان تبدیل فوریه سیگنال شناخته می‌شود. برای پیاده‌سازی تبدیل فوریه در عمل، از تبدیل فوریه گسسته<sup>۵</sup> استفاده می‌شود. شایان ذکر است بهترین الگوریتم برای پیاده‌سازی تبدیل فوریه گسسته، الگوریتم تبدیل فوریه سریع<sup>۶</sup> می‌باشد. شناسایی مؤلفه‌های فرکانسی موجود در سیگنال ارتعاشات و مقایسه آنها با مشخصه‌های فرکانسی عیوب مختلف، یکی از روش‌های مهم و رایج در پایش وضعیت ماشین‌آلات دوران است. تبدیل فوریه علی‌رغم مزایای زیاد، محدودیت‌هایی نیز دارد که مهم‌ترین آن، عدم تعیین زمان رخداد و قایع فرکانسی موجود در طیف سیگنال است.

#### ۳-۲. بررسی در حوزه‌ی مشترک زمان–فرکانس

روش‌های بررسی مستقیم سیگنال زمانی ارتعاشات و یا تبدیل فوریه آن، دارای محدودیت‌هایی هستند. از جمله اینکه این روش‌ها برای بررسی ارتعاشات در حالت گذرا و یا بررسی ارتعاشات از نوع غیر ایستان<sup>۷</sup> مناسب نیستند. علت این محدودیت این است که زمان و قایع مختلف در سیگنال ارتعاشات (برای مثال وقوع یک پدیده ضربه‌ای در یک لحظه مشخص در سیگنال)، در تبدیل فوریه قابل تشخیص نیست. یکی از روش‌های نسبتاً جدید برای مطالعه سیگنال ارتعاشات، مطالعه آن در حوزه‌ی مشترک زمان–فرکانس می‌باشد [۱]. روش‌های مختلفی مانند تبدیل فوریه زمان کوتاه<sup>۸</sup> و تبدیل ویگنر ویل<sup>۹</sup> برای این منظور به کار می‌روند. به کمک این روش‌ها می‌توان ارتعاشات گذرا و یا ارتعاشات غیرایستان را نیز به خوبی بررسی کرد. البته این روش‌ها نیز دارای محدودیت‌هایی هستند. از جمله اینکه روش تبدیل فوریه زمان کوتاه، قدرت تفکیک یکسانی را در کل حوزه زمان و فرکانس فراهم می‌کند.



شکل ۲. یک سیگنال زمانی و منحنی‌های تبدیل موجک آن -  
(الف) سیگنال زمانی، (ب) منحنی مقدار مطلق دامنه (ج) منحنی  
نقشه فاز

نمونه‌ای از منحنی نقشه فاز و نیز منحنی مقدار مطلق دامنه<sup>۱۵</sup>  
در شکل ۲ نمایش داده شده است. این منحنی به کمک نرم  
افزار متلب<sup>۱۶</sup> رسم شده است. همان‌طور که مشاهده می‌شود،  
در هردوی این منحنی‌ها، نقاطی که سیگنال دچار تغییر  
ناگهانی شده، به خوبی مشخص شده‌اند. این نقاط، با نام کلی  
نقاط منفرد<sup>۱۷</sup> شناخته شده و عموماً بخش مهمی از سیگنال  
محسوب می‌شوند که دارای اطلاعات با ارزشی هستند.

### ۳-۲. تبدیل موجک گسسته و معکوس آن

برای پیاده‌سازی تبدیل موجک گسسته، راه‌کارهای مختلفی  
وجود دارد که یکی از رایج‌ترین آنها، پیاده‌سازی به کمک  
تئوری تحلیل با تفکیک چندگانه<sup>۱۸</sup> است [۷] و [۶]. در این  
روش، پیاده‌سازی تبدیل موجک گسسته به کمک یک‌سری  
عملیات متوالی صورت می‌پذیرد که هر مرحله از این عملیات،  
شامل فیلتر کردن سیگنال و نمونه‌کاهی<sup>۱۹</sup> می‌باشد. در هر  
مرحله از فرآیند تبدیل موجک گسسته، محتوای سیگنال در

$$W_x(a, b; \psi) = \frac{1}{\sqrt{a}} \int_{-\infty}^{+\infty} x(t) \psi^*(\frac{t-b}{a}) dt \quad (2)$$

در این رابطه،  $a$  پارامتر مقیاس،  $b$  پارامتر جایجایی،  $\psi(t)$  تابع موجک مادر و علامت  $*$ ، معرف مزدوج مختلط است.  
به عبارت دقیق‌تر، سه پارامتر مقیاس، جایجایی و تابع موجک  
مادر، در نتیجه تبدیل موجک، مؤثر هستند. از آنجا که تبدیل  
موجک یک تبدیل خطی است، لذا معکوس پذیر می‌باشد.  
معکوس تبدیل موجک پیوسته بر اساس رابطه <sup>۳</sup> بدست  
می‌آید [۶]:

$$x(t) = \frac{1}{C_\psi} \int_0^{+\infty} \int_{-\infty}^{+\infty} W_x(a, b; \psi) \frac{1}{\sqrt{a}} \psi(\frac{t-b}{a}) db \frac{da}{a^2} \quad (3)$$

$C_\psi$  شرط مقبولیت<sup>۲۰</sup> می‌باشد. منحنی اسکالولگرام<sup>۲۱</sup> تبدیل  
موجک، یکی از روش‌های نشان دادن محتوای این تبدیل بر  
حسب پارامترهای جایجایی و مقیاس است که مطابق رابطه  
<sup>۴</sup> بیان می‌شود [۲]:

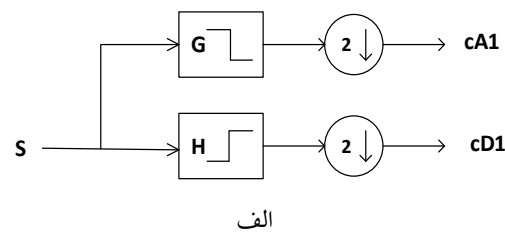
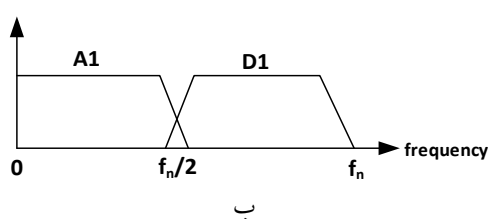
$$SG_x(a, b; \psi) = |W_x(a, b; \psi)|^2 \quad (4)$$

این منحنی، چگالی انرژی سیگنال را در صفحه مقیاس  
(فرکانس) بر حسب جایجایی (زمان) نشان می‌دهد. منحنی  
نقشه فاز<sup>۲۲</sup> تبدیل موجک نیز یکی دیگر از روش‌های نشان-  
دادن محتوای این تبدیل بر حسب پارامترهای جایجایی و  
مقیاس بوده و عبارت است از [۲]:

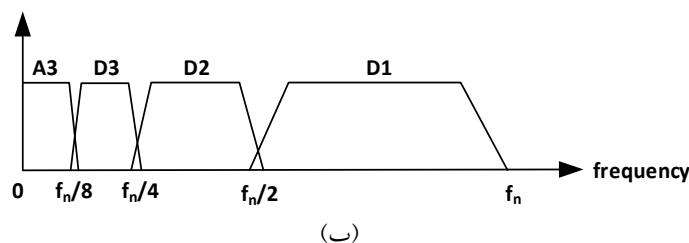
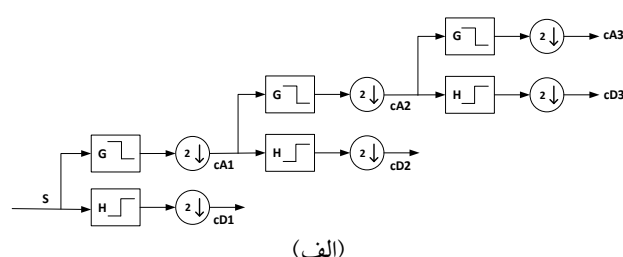
$$WP_x(a, b; \psi) = tg^{-1} \left( \frac{\text{Im}[W_x(a, b; \psi)]}{\text{Re}[W_x(a, b; \psi)]} \right) \quad (5)$$

و ضرائب تقریب، محتوای فرکانس پایین سیگنال را دربر دارند. شکل ۳-الف، فرآیند تبدیل موجک گستته را برای سطح اول از تجزیه سیگنال و شکل ۳-ب، باندهای فرکانسی مربوطه را نشان می‌دهد. منظور از  $f_n$  در این شکل، نصف فرکانس نمونه‌برداری سیگنال اولیه است. در [۷] نشان داده می‌شود که ادامه روند تجزیه سیگنال به سطوح بعدی، با فیلتر کردن ضرائب تقریب سطح اول تجزیه (اعمال فیلترهای پایین گذر و بالاگذر) و کاهش تعداد نمونه‌ها مطابق شکل ۴-الف صورت می‌پذیرد. این فرآیند به طور مشابه و تا سطح دلخواه از تجزیه ادامه می‌یابد. شکل ۴-الف، فرآیند تبدیل موجک گستته را تا سه سطح تجزیه و شکل ۴-ب، باندهای فرکانسی مربوط به هر سطح از تجزیه را نشان می‌دهد.

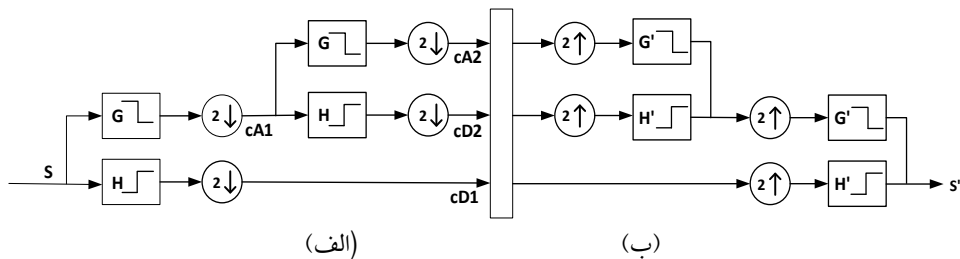
داخل دو زیرفضای متعامد تجزیه می‌شود. نشان داده می‌شود که در یک شاخه ابتدا یک فیلتر پایین گذر (G) بر روی سیگنال گستته اثر کرده و سپس تعداد نمونه‌های سیگنال، به نصف کاهش می‌یابد. منظور از کاهش نمونه‌ها به نصف، این است که نمونه‌های سیگنال، یک در میان حذف شده و بقیه آنها حفظ می‌شوند. خروجی این مرحله، اصطلاحاً ضرائب تقریب سیگنال<sup>۲۰</sup> در سطح اول تجزیه (cA1)، نامیده می‌شود. به طور موازی، یک فیلتر بالاگذر (H) بر روی سیگنال گستته موجود اثر کرده و سپس تعداد نمونه‌های سیگنال، به نصف کاهش می‌یابد. خروجی این مرحله، اصطلاحاً ضرائب جزئیات<sup>۲۱</sup> سیگنال در سطح اول تجزیه (cD1)، نامیده می‌شود. همان‌طور که از نوع فیلترهای اعمال شده مشخص است، ضرائب جزئیات، محتوای فرکانس بالا



شکل ۳. (الف) روال پیاده‌سازی تبدیل گستته موجک به روش MRA (ب) تفکیک محتوای فرکانسی در دو باند [۷]



شکل ۴. (الف) فرآیند تبدیل موجک گستته سیگنال تا سه سطح تجزیه، (ب) تفکیک محتوای فرکانسی در چهار باند [۷]



شکل ۵. (الف) تبدیل موجک گسسته تا دو سطح تجزیه (ب) تبدیل موجک گسسته معکوس برای بازسازی سیگنال اولیه [۷]

متفاوت، شکل ۱، به صورت جداگانه به دست می‌آیند و ضرایب آنها موجود است.

- امکان بازسازی سیگنال براساس هر یک از ضرائب تجزیه سیگنال در سطوح مختلف (مانند  $c_{A1}$ ,  $c_{D1}$ ,  $c_{A2}$  و  $c_{D2}$  و ...)، به صورت جداگانه نیز وجود دارد. یعنی به عنوان مثال برای بازسازی سیگنال صرفا براساس  $c_{A1}$ ، مقدار سایر ضرائب برابر با صفر قرار داده شده و سپس روند مندرج در شکل ۵-ب، طی می‌شود. سیگنالی که بدین ترتیب به دست می‌آید، صرفا محتوای فرکانسی مربوط به  $c_{A1}$  را در بر دارد. این موضوع در آنالیز ارتعاشات تجهیزات دور کاربرد دارد که برای نمونه می‌توانید مثال دو در بخش ۲-۴ این مقاله را ببینید.

### ۳-۳. تبدیل بسته موجک

تبدیل بسته موجک در واقع گسترش منطقی تبدیل موجک گسسته است. در این روش، برخلاف روش مرسوم در تبدیل گسسته موجک، ضرائب جزئیات نیز مجدد تجزیه می‌شوند [۷]. شکل ۶، فرایند تجزیه سیگنال به کمک تبدیل بسته موجک را نشان می‌دهد. شایان ذکر است که هر یک از زیرفضاهای در تبدیل بسته موجک، معادل یک باند مشخص در حوزه فرکانس است. به عبارت دیگر، با تجزیه یک سیگنال به کمک تبدیل بسته موجک، میزان انرژی آن در باندهای فرکانسی مختلف، مشخص می‌شود. از آنجایی که تبدیل بسته موجک، زیرفضاهای بیشتری نسبت به تبدیل گسسته

همان‌طور که ملاحظه می‌شود، با اعمال تبدیل موجک گسسته، محتوای فرکانسی سیگنال، به چندین باند مختلف تقسیم شده است. با انجام عملیات معکوس مشابه روند شکل ۴-الف، می‌توان سیگنال اولیه را بر اساس ضرائب تبدیل موجک گسسته، بازسازی کرد [۷]. این عملیات، تبدیل موجک گسسته معکوس به شمار می‌رود که روند آن، در شکل ۵ نمایش داده شده است. دقت نمایید که در روند معکوس تبدیل موجک گسسته، فیلترهای بالاگذر و پایین‌گذر متغیری استفاده می‌شود که در شکل فوق با  $H'$  و  $G'$  نشان داده شده‌اند. همچنین به جای کاهش نمونه‌های سیگنال، تعداد نمونه‌های سیگنال گسسته در هر مرحله به دو برابر افزایش می‌یابد. منظور از افزایش تعداد نمونه‌های سیگنال به دو برابر این است که به صورت یک در میان، بین نمونه‌های سیگنال گسسته، صفر قرار داده می‌شود. این کار بدین منظور است که تعداد نمونه‌های سیگنال بازسازی شده با سیگنال اولیه، برابر باشد. همان‌گونه که در شکل نشان داده شده است ابتدا سیگنال گسسته تا ۲ سطح تجزیه شده است شکل ۵-الف و ضرایب تجزیه سیگنال در زیرفضاهای متعامد،  $c_{D1}$ ،  $c_{D2}$  و  $c_{A2}$  می‌باشند. اکنون از روی این ضرایب تجزیه، می‌توان سیگنال را به طور کامل بازسازی کرد. شکل ۵-ب.

در اینجا چند نکته مهم نیز باید ذکر شود که عبارتند از:

- مجموعه فیلترهای مورد استفاده در تبدیل موجک گسسته و تبدیل معکوس آن (یعنی فیلترهای  $G$ ,  $H$ ,  $G'$ ,  $H'$  و  $G''$ ، اصطلاحاً فیلترهای چهارگانه آیندهای ۲۲ نامیده می‌شوند). این فیلترها برای هر موجک مادر

که در آن با فرض حقیقی بودن ضرایب تجزیه موجک :

$$p[n] = \frac{a[n]^2}{\|a\|^2} \quad (7)$$

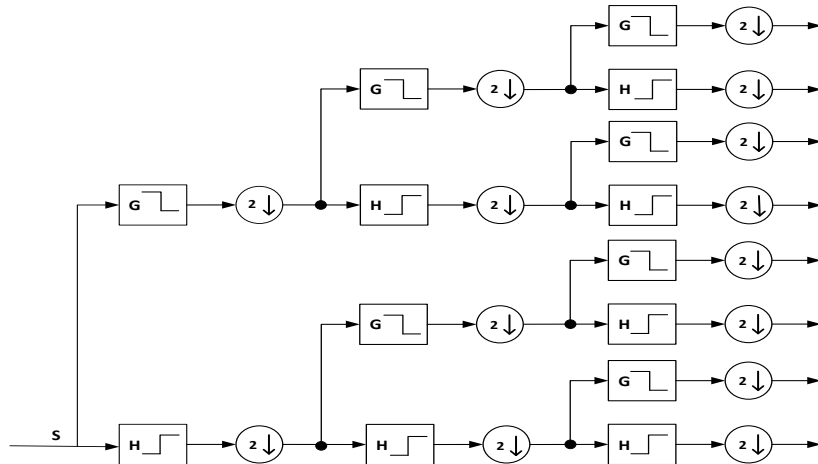
است که  $a[n]$  بردار ضرائب تجزیه سیگنال در هر سطح تجزیه مورد نظر و  $\|a\|$  نرم بردار فوق می‌باشد. بر این اساس، تجزیه هر گره والد (نقاطی که در شکل ۶ با دایره توپر مشخص شده‌اند) به شرطی انجام می‌شود که جمع آنتروپی دو گره فرزند آن، کمتر از آنتروپی والد باشد.

موجک دارد، لذا محتوای فرکانسی سیگنال را بهتر نشان می‌دهد. حتی می‌توان به کمک تبدیل بسته موجک، طیف فرکانسی سیگنال ارتعاشات را نیز تخمین زد [۷].

نکته مهم دیگری که در خصوص تبدیل بسته موجک وجود دارد، امکان تصمیم‌گیری در خصوص تجزیه و یا عدم تجزیه یک گره خاص بر اساس معیارهای بهینه‌سازی است. به عنوان مثال، معیار آنتروپی شanon<sup>۲۳</sup> برای این کار استفاده می‌شود. مقدار آنتروپی هر گره بر اساس رابطه ۶ به دست می‌آید [۸] :

Shanon Entropy

$$= - \sum_n p[n] \log(p[n]) \quad (6)$$



شکل ۶. فرآیند تجزیه سیگنال به کمک تبدیل بسته موجک [۷]

مطالعات و پژوهش‌های زیادی در این خصوص صورت پذیرفته است. پنگ و چو [۲] و نیز یانگ و دیگران [۳]، فعالیت‌های پژوهشی انجام شده طی سال‌های گذشته در این زمینه را بررسی کرده‌اند.

فهرست روش‌ها و ابزارهای مختلفی که در این راستا استفاده می‌شود، در جدول ۱ درج شده است. به دست آوردن اطلاعات مفید از سیگنال (استخراج ویژگی‌های<sup>۲۵</sup> مشخصی از سیگنال)، حذف محتوای ناخواسته از سیگنال (نویززدایی) و تقویت محتوای مورد نظر در سیگنال (آنالیز نقاط منفرد)، تنها

درخت تجزیه‌ای که با اعمال این معیار به دست می‌آید درخت تجزیه بهینه<sup>۲۴</sup> نامیده می‌شود.

#### ۴. استفاده از تبدیل موجک در آنالیز ارتعاشات

تا اینجا سعی شد تبدیل موجک و تبدیل بسته موجک به طور بسیار مختصر شرح داده شود. در ادامه بنا بر این است که کاربرد این تبدیل برای آنالیز ارتعاشات مورد بررسی قرار گیرد. سال‌های متعددی است که کاربرد تبدیل موجک برای آنالیز ارتعاشات، مورد توجه پژوهشگران قرار گرفته و

دهد. اما بدیهی است با توجه به گستردگی زیاد این مبحث، امکان پوشش همه ویژگی‌ها و کاربردها نبوده و خواننده علاقمند، می‌بایست به مراجع مختلف در این زمینه، مراجعه نموده و یا در عمل از آن استفاده نمایند.

بخشی از قابلیت‌های تبدیل موجک در این زمینه هستند. در ادامه، هر یک از این روش‌ها به اجمالی معرفی و سعی شده تا کارایی روش‌های مختلف با ذکر مثال‌های عملی نشان داده شود. بنای نویسنده‌گان بر ارائه مثال‌های عملی متنوع بوده تا هر کدام، جنبه‌ای کاربردی از تبدیل موجک را نشان

جدول ۱. روش‌ها و ابزارهای تحلیل سیگنال ارتعاشات به کمک تبدیل موجک

| نام تکنیک                          | روش‌ها و ابزارهای تحلیلی   |
|------------------------------------|--|
| تبدیل موجک پیوسته                  | منحنی اسکالولگرام - منحنی نقشه فاز - شاخص‌های آماری مانند ممان خاکستری <sup>۲۶</sup> یا فرکانس میانگین و ... - آنالیز نقاط منفرد   |
| تبدیل موجک گسسته - تبدیل بسته موجک | مقادیر ضرائب جزئیات و تقریب در سطوح مختلف تجزیه - الگوی توزیع خطای باقیمانده در روند محاسبه ضرائب - انرژی نودها در سطوح مختلف تجزیه - تخمین طیف فرکانسی ارتعاشات - نویززدایی از سیگنال |
| تبدیل موجک پیوسته و گسسته          | استفاده از توابع موجک مختلف - طراحی تابع موجک جدید - ترکیب روش تبدیل موجک با سایر روش‌های تحلیل سیگنال   |

$$M_n(t) = \int_0^{F_N} f^n |W_x(a, b; \psi)|^2 df \quad (9)$$

در این رابطه،  $\psi$   $W_x(a, b; \psi)$  اندازه تبدیل موجک،  $f$  فرکانس،  $n$  مرتبه ممان فرکانسی و  $F_N$  نصف فرکانس نمونه برداری می‌باشد. فرکانس میانگین، نشان‌دهنده نوع عیوبی است که در تجهیز دور و وجود دارد.

**مثال یک: تشخیص زود هنگام آسیب در چرخ‌دنده به کمک شاخص‌های آماری مبتنی بر اسکالولگرام** در این قسمت مثالی از تشخیص آسیب در چرخ‌دنده به کمک شاخص فرکانس میانگین مطرح می‌شود [۹]. برای بررسی کارایی این روش، آسیب سطحی دنده‌های گیربکس بر روی یک استند تست تجربی، مدل‌سازی شده است. تصویر چرخ‌دنده مورد نظر با شدت آسیب‌های مختلف در شکل ۷ آمده است. سیگنال‌های اولیه ارتعاشات مربوط به هر مرحله از خرابی و طیف فرکانسی مربوطه، در شکل ۸ درج شده است. همان‌طور که مشاهده می‌شود، با روش‌های مرسوم،

#### ۴-۱. استفاده از تبدیل موجک پیوسته

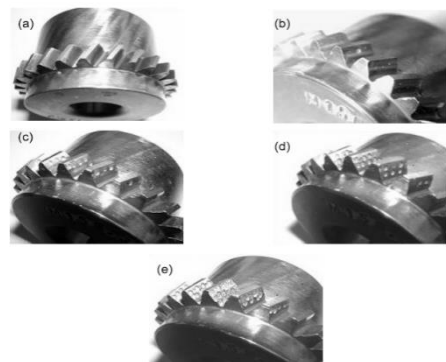
تبدیل موجک پیوسته بر اساس رابطه ۲ بدست می‌آید. برای بررسی مستقیم سیگنال ارتعاشات با این روش، می‌توان از منحنی اسکالولگرام و یا منحنی نقشه فاز استفاده کرد که توسط روابط ۳ و ۴ معرفی شده‌اند. همچنین می‌توان یکسری شاخص‌های آماری مانند ممان خاکستری و یا فرکانس میانگین<sup>۲۷</sup> از ضرائب این تبدیل استخراج کرده و از آنها به عنوان شاخص‌های وضعیت و ابزارهای عیب‌یابی استفاده نمود. به عنوان مثال، فرکانس میانگین از روی منحنی اسکالولگرام (چگالی انرژی) بدست می‌آید و مربوط به نقطه‌ای است که برای یک زمان مشخص، مرکز ثقل انرژی هر ناحیه از منحنی فوق است. فرکانس میانگین بر حسب زمان از رابطه ۸ بدست می‌آید [۹]:

$$\Omega_f(t) = M_1(t) / M_0(t) \quad (8)$$

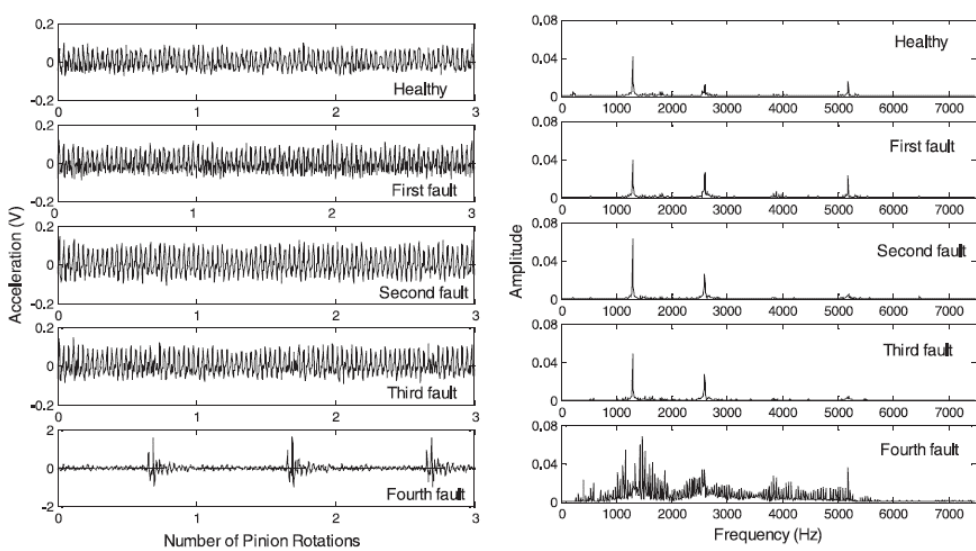
در رابطه بالا  $M_n(t)$  ممان فرکانسی مرتبه  $n$  بوده و از رابطه ۹ حاصل می‌شود [۹]:

مشخص شده‌اند. موقعیت این فرورفتگی‌ها (مینیمم محلی) برابر با فرکانس درگیری دندانه‌ها می‌باشد. همان‌طور که مشاهده می‌شود در این روش بررسی که به کمک تبدیل موجک صورت پذیرفته است، آسیب حتی در مراحل بسیار ابتدایی قابل تشخیص می‌باشد. منحنی اسکالوگرام و منحنی تغییرات فرکانس میانگین مربوط به خرابی‌های مراحل بعدی نیز در مقاله اصلی درج شده است [۹].

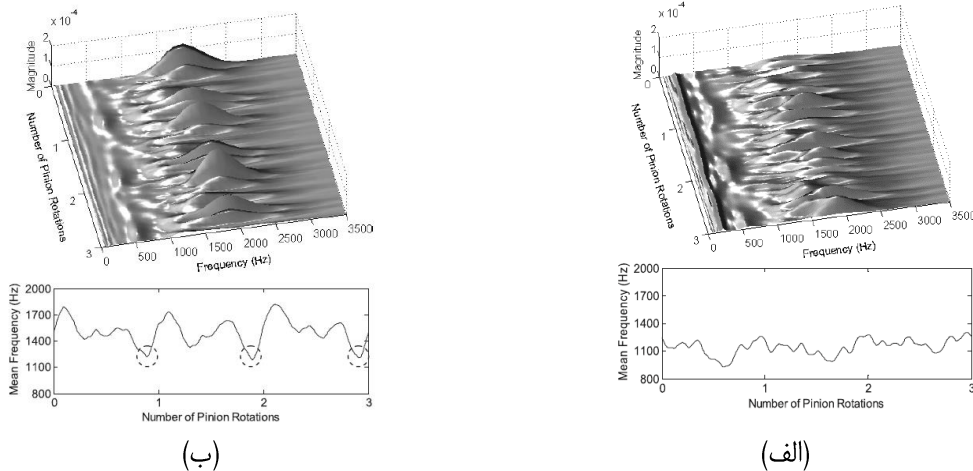
عیب را تنها می‌توان در مرحله بسیار پیشرفته خرابی تشخیص داد. شکل ۹ منحنی اسکالوگرام و منحنی تغییرات فرکانس میانگین را برای چرخ دنده سالم و نیز چرخ دنده معیوب در اولین مرحله از آسیب (حالت b در شکل ۷) نشان می‌دهد. فرکانس درگیری دندانه‌ها در این مثال، ۱۲۹۴Hz می‌باشد. آسیب سطحی بر روی چرخ دنده، به صورت فرورفتگی‌های تکرار شونده در منحنی تغییرات فرکانس میانگین، بروز پیدا می‌کند که در شکل ۹-ب با دایره



شکل ۷. چرخ دنده تحت تست با مراحل مختلف آسیب سطحی روی دندانه‌ها [۹]



شکل ۸. مسیگال‌های زمانی ارتعاشات (الف) و طیف‌های فرکانسی (ب) مربوط به چرخ دنده در مراحل مختلف آسیب [۹]



شکل ۹. منحنی اسکالوگرام و منحنی تغییرات فرکانس میانگین چرخ دنده سالم (الف) و چرخ دنده معیوب در مرحله اول خرابی (ب) [۹]

به عنوان شاخص‌های وضعیت و یا ابزارهای عیب‌یابی استفاده کرد.

### مثال دو: تفکیک عیوب اجزاء مختلف یاتاقان غلتتشی به کمک تبدیل موجک

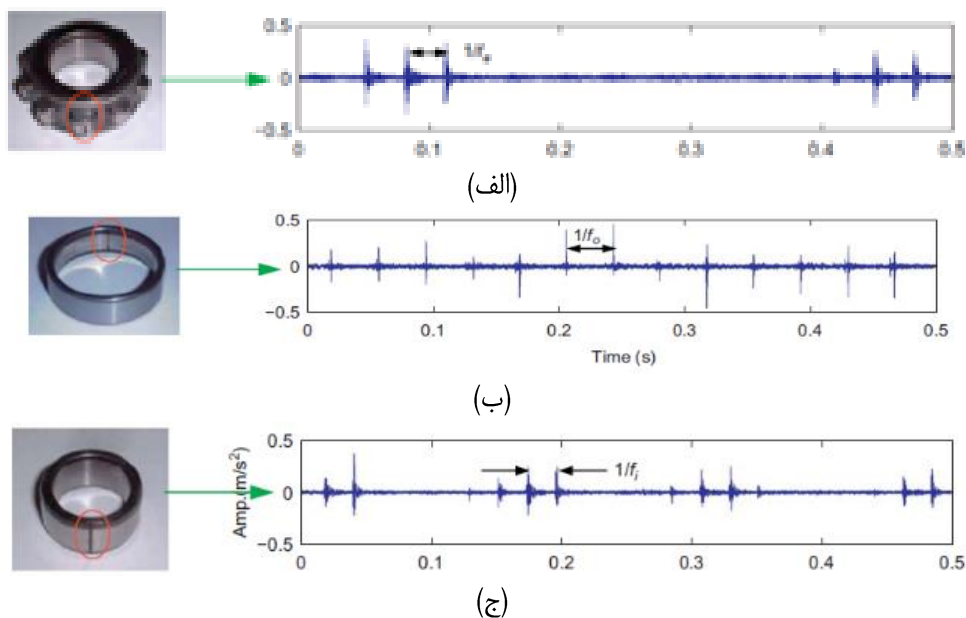
در این قسمت یک مثال از تفکیک عیوب اجزاء مختلف یاتاقان غلتتشی مطرح می‌شود [۱۱]. همان‌طور که قبل مطرح شد، خرابی در هر یک از اجزاء یاتاقان غلتتشی، دارای مشخصه‌های فرکانسی خاصی است جدول ۲. به عنوان مثال، شکل ۱۰ تحریک این فرکانس‌ها را بر اثر خرابی جداگانه در غلتک‌ها (شکل الف)، رینگ داخلی (شکل ب) و رینگ خارجی (شکل ج)، نشان می‌دهد. در این شکل و نیز شکل‌های ۱۱ و ۱۲،  $f_e$ ،  $f_i$  و  $f_o$  به ترتیب بیانگر فرکانس خرابی غلتک‌ها، رینگ داخلی و رینگ خارجی یاتاقان هستند. نکته‌ای که در اینجا باید به آن اشاره کرد، این است که در صورت وقوع خرابی در هر یک از اجزاء فوق به صورت جداگانه، تشخیص عیوب به طور نسبی آسان‌تر است،

شکل ۱۰.

### ۴-۲. استفاده از تبدیل موجک گسسته و تبدیل بسته موجک

تبدیل موجک گسسته و معکوس آن بر اساس شکل‌های ۳ و ۴ و تبدیل بسته موجک بر اساس شکل ۶ پیاده‌سازی می‌شوند که نتیجه آن، یک سری ضرائب جزئیات و ضرائب تقریب از سیگنال در سطوح مختلف تجزیه است. هر یک از این سطوح تجزیه، بخشی از محتوای سیگنال در باندهای فرکانسی مختلف را در بردارند شکل ۴-ب. برای بررسی سیگنال به این روش، می‌توان از مواردی مانند:

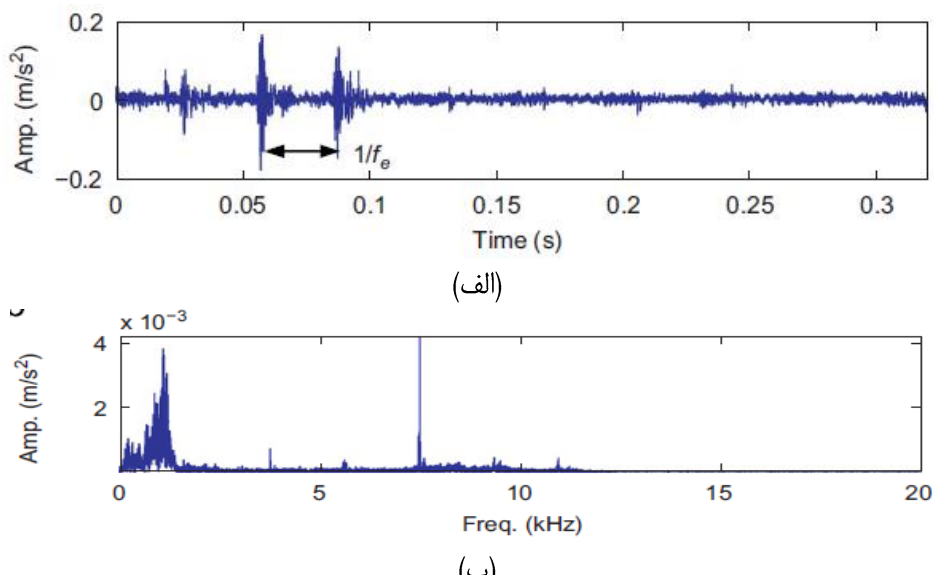
- بازسازی سیگنال بر اساس هر یک از ضرائب جزئیات و تقریب در سطوح مختلف تجزیه به صورت جداگانه.
- مقادیر ضرائب جزئیات و ضرائب تقریب در سطوح مختلف تجزیه سیگنال.
- الگوی توزیع خطای باقیمانده در روند محاسبه ضرائب تجزیه سیگنال.
- انرژی نودها در سطوح مختلف سیگنال تجزیه شده.
- تخمین طیف<sup>۲۸</sup> فرکانسی ارتعاشات.



شکل ۱۰. وجود عیب در اجزاء یاتاقان غلتکی در حالت وقوع جداگانه، الف - عیب بر روی غلتک‌ها، ب - عیب بر روی رینگ داخلی و ج - عیب بر روی رینگ خارجی [۱۱]

سیگنال ناشی از عیب ترکیبی خرابی رینگ خارجی و خرابی غلتک‌های یاتاقان را نشان می‌دهد.

اما چنانچه عیب به طور هم‌زمان در بیش از یک جزء یاتاقان رخ دهد، تشخیص خرابی در هر کدام که شدت عیب کمتری داشته باشد، دشوارتر خواهد بود. برای مثال، شکل ۱۱،



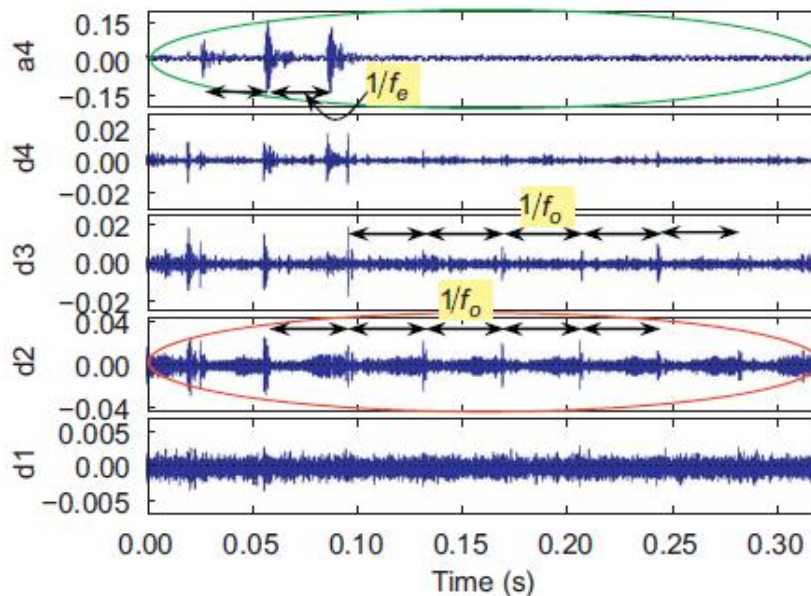
شکل ۱۱. منحنی‌های ارتعاشی مربوط به عیب ترکیبی خرابی رینگ خارجی و غلتک‌های یاتاقان (الف) سیگنال زمانی (ب) طیف فرکانسی [۱۱]

موجک و بازسازی سیگنال به کمک هر یک از خرائط تجزیه به صورت جداگانه، خرابی در هر دو این اجزاء (رینگ خارجی و غلتک‌ها) به صورت کاملاً تفکیک شده مشاهده می‌شود.

همان‌طور که در شکل ۱۱ مشاهده می‌شود، در این مثال، تنها خرابی مربوط به غلتک‌های یاتاقان در سیگنال اولیه قابل تشخیص است. اما پس از تجزیه سیگنال به کمک تبدیل

بازسازی شده به کمک ضرائب جزئیات (d2 و d3) خرابی رینگ خارجی را نشان می‌دهند.

شکل ۱۲ را ببینید. در این مثال، سیگنال بازسازی شده به کمک ضرائب تقریب (a4)، خرابی غلتک‌ها و سیگنال‌های



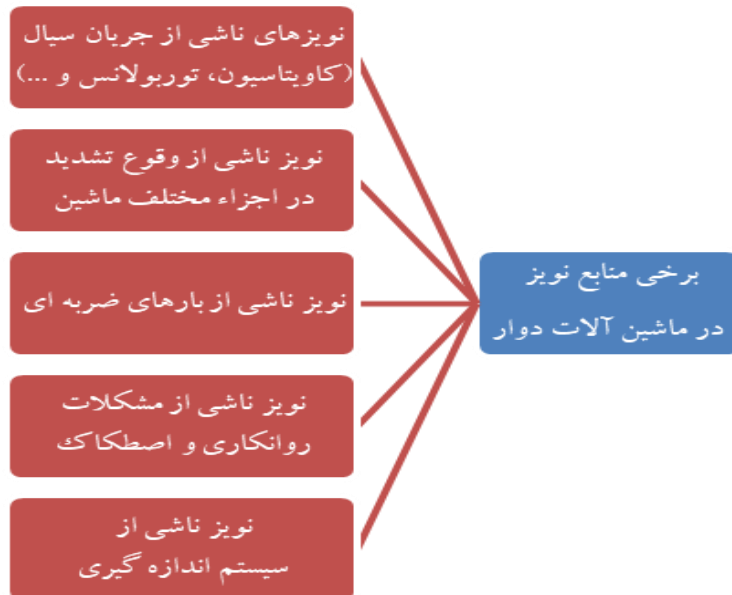
شکل ۱۲. تشخیص عیب ترکیبی خرابی رینگ خارجی و غلتک‌های یاتاقان به کمک سیگنال‌های بازسازی شده بر اساس ضرائب تبدیل موجک در سطوح مختلف تجزیه [۱۱]

عموماً مشخصه‌هایی که وجود عیب را نشان می‌دهند، در سیگنال بازسازی شده پس از حذف نویز، با وضوح بیشتری قابل رویت خواهد بود. برخی منابع نویز در سیگنال ارتعاشات ماشین‌آلات دوار در شکل ۱۳ نشان داده شده‌اند. نویززدایی به کمک تبدیل موجک بر این اساس استوار است که انرژی سیگنال و انرژی نویز همراه با آن، هر یک به شکل متفاوتی در ضرائب تبدیل موجک ظاهر خواهند شد. لذا می‌توان با شناسایی آن دسته از ضرائب تبدیل موجک که به نویز مربوط می‌شود، مقادیر این ضرائب را کاهش داده و یا حتی برابر با صفر قرار داد. برای شناسایی ضرائب مربوط به نویز و نیز تعیین سطوح آستانه برای آنها، روش‌های مختلفی وجود دارد [۱۲] و [۱۱]. در این روش‌ها، ضرائب مربوط به نویز، شناسایی شده و آن دسته از ضرائب که از حد مشخصی کمتر باشند، صفر می‌شوند. به این کار اصطلاحاً آستانه‌گذاری<sup>۲۹</sup> گفته می‌شود.

توانایی تبدیل موجک در تفکیک عیوب فوق، بدین علت است که ضرائب تبدیل موجک در سطوح مختلف تجزیه، متناظر با مؤلفه‌های فرکانسی مختلف موجود در سیگنال است، شکل ۴-ب. لذا سیگنالی که براساس هر یک از این ضرائب بازسازی می‌شود، مؤلفه‌های فرکانسی خاصی را دربر خواهد داشت که هر کدام می‌توانند مربوط به عیوب مختلفی از ماشین و یا اجزاء آن باشند.

#### ۴-۳. نویززدایی از سیگنال به کمک تبدیل موجک

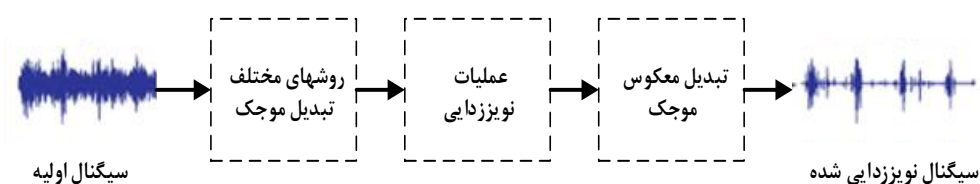
گاهی اوقات سیگنال ارتعاشات ثبت شده از ماشین‌آلات، دارای نویز زیادی است که کار تحلیل و عیوب‌یابی را با مشکل مواجه می‌کند. تبدیل موجک، ابزار بسیار مؤثری برای نویززدایی از سیگنال ارتعاشات در این موارد است [۱۲] و [۱۰]. تبدیل موجک با استفاده از روش‌های مختلف، اقدام به نویززدایی و سپس بازسازی سیگنال ارتعاشات می‌نماید.



شکل ۱۳. برخی منابع نویز در ارتعاشات ماشین آلات دوار

روش نرم<sup>۳۰</sup>، سخت<sup>۳۱</sup> و یا ترکیبی از جمله این روش‌ها هستند. پس از ایجاد تغییرات در ضرایب تبدیل موجک، تبدیل معکوس موجک انجام شده و سیگنال ارتعاشات بازسازی می‌شود. سیگنالی که بدین ترتیب بهدست می‌آید، نویز بسیار کمتری نسبت به سیگنال اولیه خواهد داشت (شکل ۱۴).

یکی از تفاوت‌های مهم در روش‌های مختلف نویززدایی، مربوط به این است که آیا برای ضرائب تجزیه موجک در سطوح مختلف، آستانه‌های یکسانی تعیین شود یا اینکه برای هر سطح تجزیه، آستانه متفاوتی با توجه به خصوصیات آماری آن سطح، تعیین شود. همچنین روش‌های مختلفی برای پیداهسازی آستانه‌گذاری وجود دارد که آستانه‌گذاری به



شکل ۱۴. فرایند نویز زدایی به کمک تبدیل موجک [۱۱]

کلی کار بدین شکل است که ابتدا تبدیل موجک روی سیگنال ارتعاشات انجام می‌شود. سپس به کمک الگوریتم‌های خاص، مقادیر ضرائب تبدیل آستانه‌گذاری شده و نهایتاً با اعمال تبدیل معکوس موجک، سیگنال ارتعاشات نویززدایی شده، بازسازی می‌شود. برای آشنایی بیشتر با جزئیات روش‌های مختلف نویززدایی، مراجع [۱۱] و [۱۲] را ببینید.

مثال سه: نویززدایی به کمک تبدیل موجک همان‌طور که در بخش‌های قبلی اشاره شد، گاهی اوقات سیگنال ارتعاشات به نحوی با نویز آغشته می‌شود که تشخیص علائم عیب به کمک آن دشوار می‌شود. در این قسمت، مثالی از نویززدایی سیگنال با هدف تشخیص عیب یاتاقان مطرح می‌شود. شکل ۱۴ شماتیکی از فرآیند نویززدایی به کمک تبدیل موجک را نشان می‌دهد. روال



شکل ۱۵. شماتیک تجهیز مورد نظر در مثال سه

اما پس از نویزدایی، این علائم که به صورت پالس می‌باشد، به خوبی آشکار شده‌اند (شکل ۱۶-ب). نویزدایی به کمک تبدیل سنته موجک و با استفاده از موجک کویفلت<sup>۳۳</sup> مرتبه ۳ صورت پذیرفته است. برای این کار از نرم‌افزار متلب استفاده شده است. جدول ۲، اطلاعات مربوط به فرکانس‌های خرابی اجزاء یاتاقان موتور مورد نظر را نشان می‌دهد. کد یاتاقان استفاده شده، ۶۲۲۰ و سرعت دورانی موتور، ۹۴۸ دور بر دقیقه است.

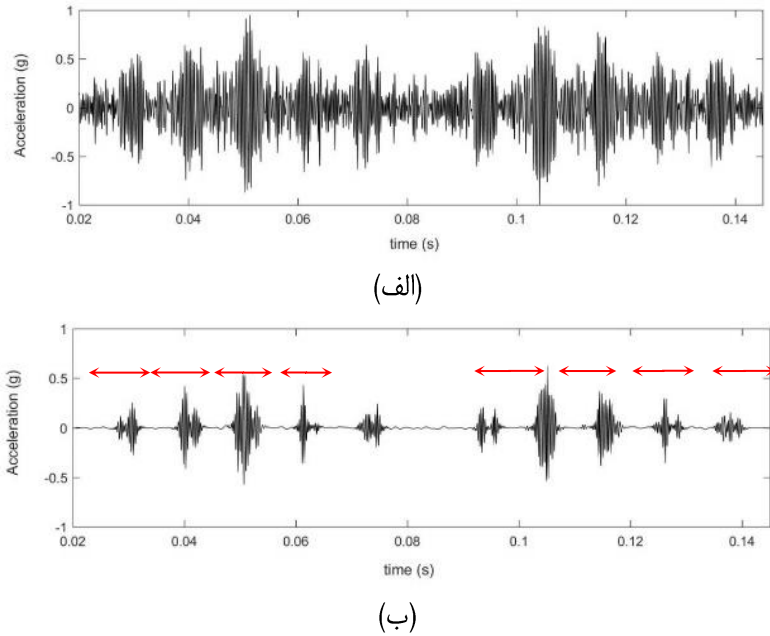
این مثال مربوط به نویزدایی از سیگنال ارتعاشات یک موتور الکتریکی با توان ۲۳۰ کیلووات است که سانتریفوژ شکر خام را می‌گرداند. سانتریفوژهای شکر خام، از تجهیزات حیاتی در کارخانجات تولید شکر محسوب می‌شوند. شکل ۱۵، تصویر تجهیز مورد نظر و شکل ۱۶-الف، سیگنال ارتعاشات ثبت شده را نشان می‌دهد. به علت غلبه نویز، علائم ناشی از خرابی یاتاقان در سیگنال اولیه ارتعاشات، به دشواری دیده می‌شود (شکل ۱۶-الف).

جدول ۲. فرکانس‌های خرابی اجزاء یاتاقان مربوط به مثال سه

| فرکانس گردش قفسه | فرکانس عبور ساقمه از رینگ<br>بیرونی | فرکانس گردش ساقمه | فرکانس عبور ساقمه از رینگ داخلی |
|------------------|-------------------------------------|-------------------|---------------------------------|
| ۶/۴۷ Hz          | ۴۷/۱ Hz                             | ۹۳/۳ Hz           | ۶۴/۷ Hz                         |

فرکانس محاسبه شده جدول ۲ و فرکانس مشاهده شده در داده‌های ارتعاشی، به خاطر قدرت تفکیک<sup>۳۳</sup> سیگنال ارتعاشات ثبت شده است.

فاصله بین پالس‌های موجود در شکل ۱۶-ب، برابر با ۰.۰۱۰۸ ۰.۰۱۰۸ ثانیه (معادل ۹۲.۸ Hz) می‌باشد که مربوط به آسیب در رینگ داخلی یاتاقان است. اختلاف جزئی بین



شکل ۱۶. سیگنال ارتعاشات اولیه دارای نویز (الف) و سیگنال نویززدایی شده بر اساس تبدیل بسته موجک (ب)

سپس سایر مقادیر دامنه غیر از مواردی که ماکریم هستند برابر با صفر قرار داده می‌شود. در ادامه، یک مقدار مرزی برای دامنه تبدیل موجک تعیین شده و همه دامنه‌هایی که از مقدار فوق کمتر باشند نیز برابر با صفر قرار داده می‌شوند. بدین ترتیب، تنها مقادیر ماکریم دامنه تبدیل موجک باقی می‌مانند که مربوط به نقاط منفرد سیگنال هستند. نهایتاً تبدیل معکوس موجک انجام شده و سیگنال بدین شکل بازسازی می‌شود [۱۳] و [۱۴]. این روش را می‌توان حالت خاصی از نویززدایی نیز بهشمار آورد.

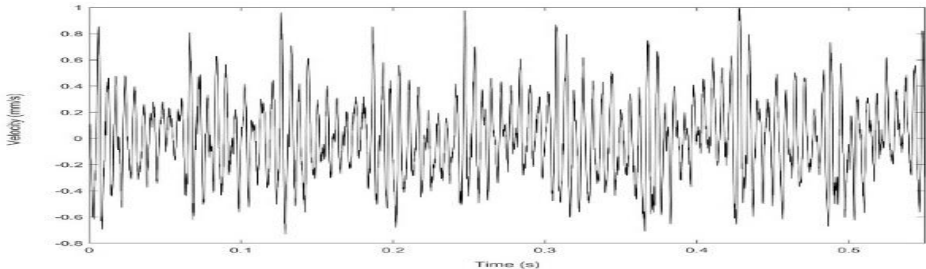
#### مثال چهار: خرابی چرخ دنده

در این قسمت، یک مثال از تشخیص خرابی چرخ دنده به کمک منحنی اسکالوگرام مطرح می‌شود. شکل ۱۷، سیگنال ارتعاشات ثبت شده را نشان می‌دهد که مربوط به یاتاقان ورودی گیربکس آسیاب مواد در یک کارخانه سیمان می‌باشد. آسیاب مواد، یکی از ماشین‌آلات حیاتی در خط تولید سیمان محسوب می‌شود. منحنی اسکالوگرام این سیگنال، در شکل ۱۸ نشان داده شده است. فواصل زمانی نشان داده شده در شکل ۱۸، متناسب با فرکانس دوران محوری است که چرخ دنده بر روی آن نصب است.

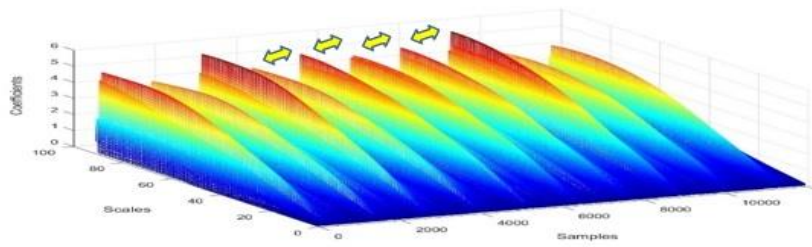
#### ۴-۴. آنالیز نقاط منفرد<sup>۳۴</sup> به کمک تبدیل موجک

بسیاری از عیوب در ماشین‌آلات دور، منجر به ایجاد پالس‌ها، تغییرات ناگهانی و یا به‌طورکلی، نقاط منفردی در سیگنال ارتعاشات می‌شوند که تشخیص این نقاط، یکی از کاربردهای مهم تبدیل موجک در آنالیز ارتعاشات بهشمار می‌رود. گاهی اوقات به‌واسطه وجود نویز و یا ضعیف بودن مقدار دامنه، این پالس‌ها و ناپیوستگی‌ها، در سیگنال زمانی دیده نشده و یا به‌سختی قابل تشخیص هستند. این در حالی است که منحنی‌هایی که از تبدیل موجک به‌دست می‌آیند، این نوسانات را به خوبی نشان می‌دهند. به این موضوع، تشخیص نقاط منفرد گفته می‌شود. نمای لیپشتز<sup>۳۵</sup> از جمله مفاهیمی است که برای تعیین چگونگی رفتار توابع مختلف از لحاظ میزان همواری<sup>۳۶</sup> به کار گرفته می‌شود.

نقاط منفرد سیگنال نیز جزو نقاطی هستند که سیگنال در آن نقاط، به نوعی ناهموار محسوب می‌شود. استفاده همزمان از مفهوم نمای لیپشتز و تبدیل موجک برای تشخیص نقاط منفرد سیگنال کاربرد دارد [۱۴]. در این روش، ابتدا مقدار ماکریم دامنه تبدیل موجک<sup>۳۷</sup> در سطوح مختلف تجزیه به‌دست می‌آید.



شکل ۱۷. سیگنال ارتعاشات ثبت شده (مثال چهار)



شکل ۱۸. منحنی اسکالوگرام سیگنال شکل ۱۷

نامناسب، یک پالس در سیگنال ارتعاشات ایجاد می‌شود. به ازای هر دور چرخ‌دنده آسیب دیده، این انفاق فقط یکبار رخ می‌دهد. در این مثال، سرعت دورانی محوری که چرخ‌دنده آسیب دیده روی آن نصب است، برابر با ۹۹۴ دور بر دقیقه بوده و فواصل زمانی نشان داده شده در شکل ۱۸ نیز دقیقاً معادل با این فرکانس است.

چرخ‌دنده معیوب مربوط به این مثال، در شکل ۱۹ نشان داده شده است. مقایسه شکل‌های ۱۷ و ۱۸ به خوبی نشان می‌دهد که تبدیل موجک، چگونه منجر به آشکار و بازتر شدن شاخصه‌ای نشانده‌نده عیب (در این مثال پالس‌های موجود در سیگنال) می‌شود. توضیح اینکه هر بار که محل شکستگی دندانه با چرخ‌دنده مجاور تماس پیدا می‌کند، به عنلت درگیری



شکل ۱۹. تصویر چرخ‌دنده مورد نظر در مثال چهار و محل آسیب دیده (شکستگی نوک دندانه)

همچنین استفاده از روش‌های مختلف بهینه‌سازی مانند الگوریتم ژنتیک، الگوریتم لانه مورچه‌گان و ... برای بهینه‌سازی پارامترهای تابع موجک و نیز معیارهای آتروپی (مانند آتروپی شانون و رنی<sup>۴۲</sup>) برای انتخاب سطح بهینه تجزیه در تبدیل موجک و نیز تبدیل بسته موجک رایج است.

**مثال پنج:** استفاده هم‌زمان از تبدیل موجک، تبدیل هیلبرت (تحلیل پوش)<sup>۴۳</sup> و تحلیل از طریق ردیابی مضارب سرعت دورانی برای عیب‌یابی یاتاقان‌های غلتشی در ماشین‌های دور متغیر

در این قسمت یک مثال از استفاده هم‌زمان تبدیل موجک، تبدیل هیلبرت (تحلیل پوش) و تحلیل از طریق ردیابی مضارب سرعت دورانی برای پایش و عیب‌یابی یاتاقان‌های غلتشی مطرح می‌شود [۱۷]. رخدادن آسیب فیزیکی در اجزاء یاتاقان غلتشی، منجر به ایجاد پالس هنگام عبور ساچمه‌ها از روی ناحیه آسیب دیده می‌شود. این موضوع علاوه بر ایجاد مؤلفه‌های فرکانسی متناظر با جزء آسیب دیده یاتاقان، منجر به تحریک فرکانس طبیعی اجزاء یاتاقان و سایر قطعات مجاور یاتاقان (مانند نشیمنگاه آن) و مدوله شدن فرکانس طبیعی تحریک شده با فرکانس خرابی اجزاء می‌شود. منحنی پوش برای تفکیک فرکانس‌های خرابی اجزاء یاتاقان از سایر مؤلفه‌های فرکانسی از جمله فرکانس‌های طبیعی تحریک شده به کار می‌رود. از طرفی در مورد ماشین‌آلات دوار با سرعت دورانی متغیر (مانند توربین‌های بادی) استفاده از روش‌های مرسوم تحلیل کارایی نداشته و باید حتماً از روش‌هایی مانند ردیابی مضارب سرعت دورانی استفاده کرد. در این روش، نمونه‌برداری از سیگنال ارتعاشات با نرخ‌های نمونه‌برداری متفاوت و متناظر با سرعت دورانی در هر لحظه صورت می‌پذیرد. لذا علاوه بر سیگنال ارتعاشات، سیگنال نشان‌دهنده دور ماشین در هر لحظه (سیگنال تاکو) نیز باید ثبت شود.

#### ۴-۵. به کارگیری توابع موجک مختلف و بهینه‌سازی پارامترهای تابع موجک

یکی از نکات مهم در استفاده از تبدیل موجک برای پایش وضعیت ارتعاشی، انتخاب تابع موجک مناسب و نیز بهینه‌سازی پارامترهای تابع موجک انتخاب شده است. اهمیت این موضوع بدین دلیل است که تا کنون ده‌ها تابع موجک با ویژگی‌های متفاوت معرفی شده و هر یک، کارایی خاص خود را دارد. بررسی کارایی و مناسب بودن این موجک‌ها برای کاربردهای مختلف آنالیز ارتعاشات از جمله پایش وضعیت و عیب‌یابی تجهیزات دوار، خود یک موضوع پژوهشی جدگانه و مبسوط است.

همچنین در برخی کاربردها باید تابع موجک جدید و مناسب برای آن کاربرد، طراحی کرد که در این راستا، موضوع موجک‌های چندگانه<sup>۴۸</sup> نیز مطرح می‌شود. امکان طراحی موجک جدید، دامنه کار پژوهشی در این زمینه را بسیار گسترش می‌کند و مزیت مهمی برای تبدیل موجک است. به عنوان نمونه، دیوید نیولند، موجک جدید تحت عنوان موجک هارمونیک<sup>۴۹</sup> را معرفی کرده که دارای ویژگی‌های خاصی بوده و برای کاربردهای آنالیز ارتعاشات طراحی شده است [۱۵] و [۱۶].

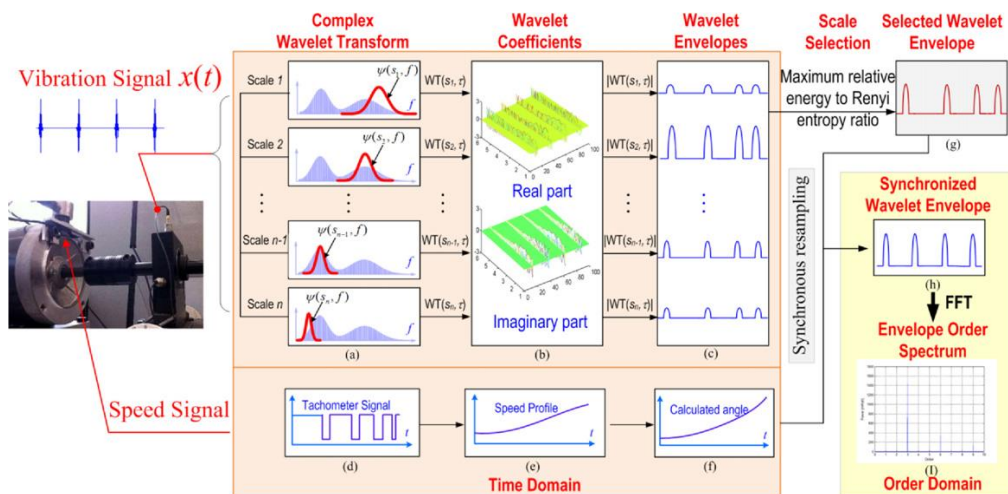
#### ۴-۶. ترکیب روش تبدیل موجک با سایر روش‌های تحلیل

شایان ذکر است در برخی کاربردها، لازم است تا به طور هم‌زمان از تبدیل موجک و سایر روش‌های آنالیز استفاده شود. یکی از مثال‌های بازز در این زمینه، استفاده هم‌زمان از تبدیل موجک و روش‌های محاسبه پوش<sup>۴۰</sup> سیگنال مانند تبدیل هیلبرت است.

استفاده از روش ردیابی مضارب سرعت دورانی<sup>۴۱</sup> به طور هم‌زمان با تبدیل موجک برای بررسی ارتعاشات در ماشین‌های با سرعت دورانی متغیر قابل توصیه است.

شماتیک روند دادهبرداری و محاسبات در روش مورد استفاده که ترکیبی از روش‌های فوق و تبدیل موجک است، در شکل ۲۰ نمایش داده شده است. برای آشنایی با جزئیات روند محاسبات درج شده در شکل ۲۰، مرجع [۱۷] را ببینید.

منحنی‌های فرکانسی که از این طریق به دست خواهد آمد، بر حسب مضرب سرعت دورانی (به جای فرکانس در حالت معمول) نمایش داده می‌شوند.

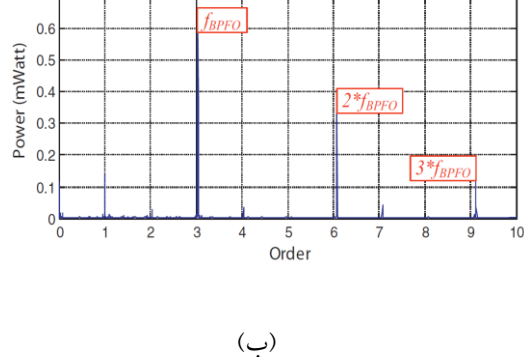


شکل ۲۰. شماتیک روند دادهبرداری و محاسبات برای عیب یابی یاتاقان غلتشی در ماشین دور متغیر [۱۷]

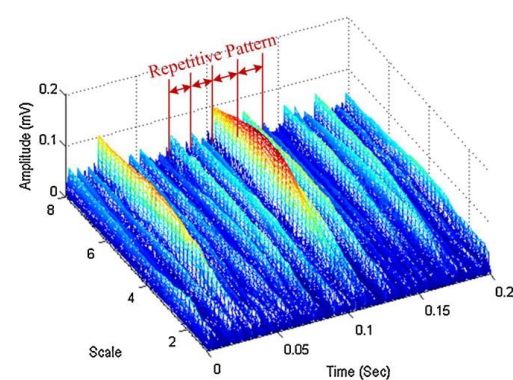
شده، در شکل ۲۱ آمده است. مؤلفه‌های ارتعاشی مربوط به فرکانس رینگ بیرونی یاتاقان، در هر دو بخش شکل ۲۱ به‌طور کاملاً واضح دیده می‌شوند.

دقت شود که به‌واسطه استفاده از تحلیل ردیابی مضارب سرعت دورانی، محور افقی طیف فرکانسی (شکل ۲۱-ب)، بر اساس مضارب سرعت دورانی<sup>۳۴</sup> نمایش داده شده است.

شایان ذکر است در این روش، از معیار آنتروپی رنی جهت انتخاب مقیاس بهینه برای انتخاب منحنی پوش مناسب استفاده شده است. در مرجع [۱۷] روش فوق بر روی مثال‌های متعددی اعمال شده است که کارایی آن را نشان می‌دهد. از جمله این موارد، آسیب رینگ بیرونی یک یاتاقان است. منحنی اسکالوگرام مربوط به این موردکاوی و منحنی پوش آن که بر اساس شماتیک مندرج در شکل ۲۰ حاصل



(ب)



(الف)

شکل ۲۱. منحنی اسکالوگرام (الف) و منحنی پوش بهینه شده مربوط به یک یاتاقان دارای عیب بر روی رینگ بیرونی (ب) [۱۷]

پرمصرف‌ترین انواع یاتاقان‌ها بوده و برای انواع ماشین‌آلات دوار به کار می‌روند. یکی از ویژگی‌های مهم یاتاقان‌های غلتشی در مقایسه با نوع لغزشی، امکان پذیری پایش وضعیت اجزاء و تعیین عمر باقیمانده آنهاست.

در واقع بسیاری از حالت‌های خرابی این دسته از یاتاقان‌ها، به صورت تدریجی و همراه با ایجاد نشانه‌های قابل آشکارسازی در هر مرحله از خرابی، رخ می‌دهند. یکی از نشانه‌های مهم برای عیب‌یابی یاتاقان‌های غلتشی، فرکانس‌های خرابی اجزاء مختلف است که نحوه محاسبه آنها در جدول ۳ آمده است [۱۸]. شکل ۲۲، شماتیک یک یاتاقان غلتشی و نمادهای به کار رفته در روابط مندرج در جدول ۳ را نشان می‌دهد.

## ۵. مروری بر برخی مفاهیم پایه در عیب‌یابی

### یاتاقان‌های غلتشی و چرخ دنده‌ها:

از آنجایی که طی مباحث این مقاله، به عیب‌یابی یاتاقان‌های غلتشی و چرخ دنده‌ها اشاره شده است، لازم است تا در این بخش، نکاتی در این زمینه ارائه شود.

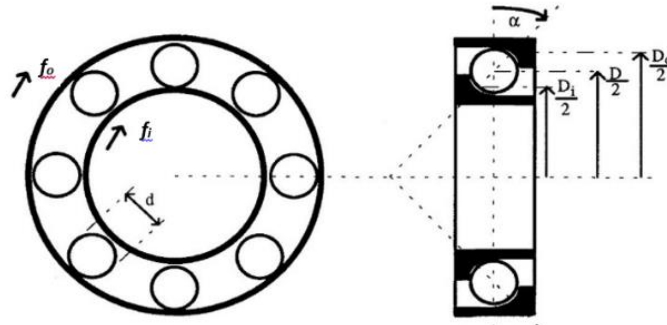
یاتاقان‌ها، یکی از اجزاء مهم ماشین‌آلات دوار می‌باشند که ضمن کنترل و تعیین موقعیت جزء گردان با روتور، کلیه نیروهای استاتیکی و دینامیکی موجود در ماشین نیز از طریق آنها تحمل می‌شود. انواع مختلفی از یاتاقان‌ها تا کنون در ماشین‌آلات به کار گرفته شده‌اند. در این میان، یاتاقان‌های غلتشی با توجه به ویژگی‌های خاص آنها، در زمرة

جدول ۳. روابط لازم برای محاسبه فرکانس‌های خرابی اجزاء یاتاقان غلتشی [۱۸]

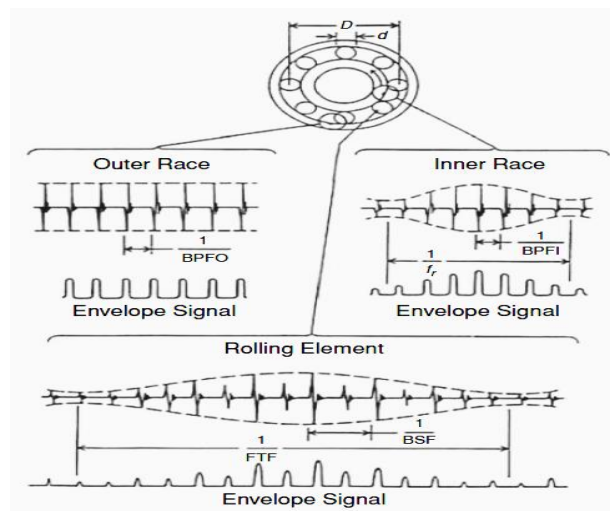
| رابطه‌ها  | فرکانس (بر حسب هرتز)                                  |
|---|---|
| $f_{bpfo} = \frac{Z(f_o - f_i)(1 - \frac{d}{D}\cos(\alpha))}{2}$                                | فرکانس عبور ساقمه از رینگ بیرونی <sup>۴۵</sup> (BPFO) |
| $f_{bpfi} = \frac{Z(f_o - f_i)(1 + \frac{d}{D}\cos(\alpha))}{2}$                                | فرکانس عبور ساقمه از رینگ داخلی <sup>۴۶</sup> (BPFI)  |
| $f_{bsf} = \frac{f_o - f_i}{2} \frac{D}{d} (1 - (\frac{d}{D}\cos(\alpha))^2)$                   | فرکانس گردش ساقمه یا غلتک <sup>۴۷</sup> (BSF)         |
| $f_c = \frac{f_i(1 - \frac{d}{D}\cos(\alpha))}{2} + \frac{f_o(1 + \frac{d}{D}\cos(\alpha))}{2}$ | فرکانس گردش قفسه (FTF <sup>۴۸</sup> یا Cage)          |

اجزاء یاتاقان، فرکانس متناسب با آن، در سیگنال ارتعاش قابل ردیابی خواهد بود. این موضوع به صورت شماتیک در شکل ۲۳ نشان داده شده است.

در جدول ۳ و نیز شکل Z، ۲۲، تعداد ساقمه‌ها یا غلتک‌ها، قطر ساقمه یا غلتک،  $f_i$ ، فرکانس دوران رینگ داخلی،  $f_o$ ، فرکانس دوران رینگ خارجی،  $D$ ، قطر گام یاتاقان و  $\alpha$ ، زاویه تماس<sup>۴۹</sup> می‌باشند در صورت آسیب دیدن هر یک از



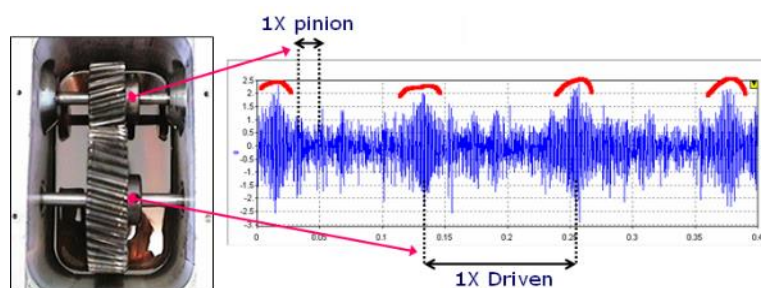
شکل ۲۲. شماتیک یک یاتاقان غلتی و نمادهای به کار رفته در روابط جدول سه [۱۸]



شکل ۲۳. تشخیص عیب در یاتاقان‌های غلتی به کمک سیگنال ارتعاشات [۱]

عبارتند از: فرکانس دوران محور چرخ دنده ورودی (پینیون)، فرکانس دوران محور چرخ دنده خروجی (متحرک) و فرکانس درگیری دندانه‌ها<sup>۰</sup>. فرکانس درگیری دندانه‌ها از حاصل ضرب تعداد دندانه هر چرخ دنده در فرکانس دوران آن به دست می‌آید.

چرخ دنده‌ها نیز از اجزاء مهم ماشین‌آلات دوار به شمار می‌روند که لازم است تا پایش سلامتی آنها در برنامه کاری باشد. این دسته از اجزاء ماشین نیز در صورت آسیب دیدن، مشخصه‌های فرکانسی خاصی را در سیگنال ارتعاشات ایجاد می‌کنند، شکل ۲۴. برخی فرکانس‌های مهم در این رابطه



شکل ۲۴. دو چرخ دنده در گیر در یک گیربکس و سیگنال زمانی ارتعاشات ثبت شده

## ۶. نتیجه‌گیری

نویزه‌زدایی از سیگنال ارتعاشات و تشخیص محل و ماهیت نقاط منفرد (ضربه، پالس و ...) در سیگنال ارتعاشات و در نتیجه کمک به آشکارسازی عیوب، بسیار مناسب است. استفاده ترکیبی از تبدیل موجک و سایر روش‌های پردازش سیگنال، کارآیی آن را افزایش می‌دهد. همچنین نشان داده شد که انعطاف‌پذیری این تبدیل و پارامترهای متعدد آن، زمینه را برای استفاده بهینه از آن فراهم می‌سازد. بدینهی است این نوشتار صرفاً یک مقدمه کوتاه بر مبحث بسیار وسیع و گسترده کاربرد تبدیل موجک در آنالیز سیگنال ارتعاشی است.

در این مقاله، مقدمه‌ای در زمینه روش‌های پردازش سیگنال ارتعاشات و با تأکید بر تبدیل موجک ارائه شد. همچنین ضمن بررسی و دسته‌بندی کاربردهای تبدیل موجک برای آنالیز ارتعاشات، روش‌های قابل استفاده در این راستا نیز مورد ارزیابی قرار گرفت. سپس برای نشان دادن نحوه انجام کار و نتایج قابل حصول، مثال‌های مختلفی از به کار گیری روش‌های مختلف تبدیل موجک برای پایش وضعیت ارتعاشات ارائه گردید. در خلال این مثال‌ها نشان داده شد که تبدیل موجک، دستاوردهای مهمی را برای ارتقاء برنامه پایش وضعیت ارتعاشی دربر دارد. به طور خاص این تبدیل برای

## ۷. مأخذ

- [1] Randall, Robert Bond. *Vibration-based condition monitoring: industrial, aerospace and automotive applications*. John Wiley & Sons, 2011.
- [2] Peng, Z. K., and F. L. Chu. "Application of the wavelet transform in machine condition monitoring and fault diagnostics: a review with bibliography." *Mechanical systems and signal processing*, Vol.18, no.2, 2004, pp.199-221.
- [3] Yan, Ruqiang, Robert X. GAO, and Xuefeng Chen. "Wavelets for fault diagnosis of rotary machines: A review with applications." *Signal processing* 96, 2014, pp.1-15.
- [4] Dunton, Timothy A. "An introduction to time waveform analysis." *Universal Technologies, Inc*, 1999.
- [5] Fugal, D. Lee. "Wavelets "Beyond Comparison" Worldwide Satellite Magazine May 2009, PP.35-41.
- [6] Mallat, S. G. "A Theory of Multiresolution Signal Decomposition: The Wavelet Representation." *IEEE Trans: Pattern Anal. Machine Learning*, Vol.11, 1989, PP.674-693.
- [7] Mallat, Stephane. "A Wavelet Tour o Signal Processing", 3rd Edition, Academic Press, 2009
- [8] Jensen, A. & A.la Cour-Harbo. "Ripples in Mathematics, the Discrete Wavelet Transform." Springer, 2001.
- [9] Özturk, H., M. Sabuncu, I. Yesilyurt. "Early Detection of Pitting Damage in Gears using Mean Frequency of Scalogram." *Journal of Vibration and Control*, Vol.14, No.4, 2008, PP.469-484.
- [10] Lia, Zhen , Z. Heb, Y. Zia, H. Jiang, "Rotating machinery fault diagnosis using signal-adapted lifting scheme." *Mechanical Systems and Signal Processing* 22, 2008, PP.542-556.
- [11] Wang, Y., Z. Wang, Y. Zi, He. "Enhancement of Signal Denoising and Multiple Fault Signatures Detecting In Rotating Machinery Using Dual-Tree Complex Wavelet Transform." *Mechanical Systems and Signal Processing* 24, 2010, PP.119-137.
- [12] Krim, H., D. Tucker, Stephane Mallat & D. Donoho, "On Denoising and Best Signal Representation." *IEEE Transactions on Information Theory*, Vol.45, No.7, November 1999.
- [13] Sun, Q., Y. Tang, "Singularity Analysis Using Continuous Wavelet Transform for Bearing Fault Diagnosis" *Mechanical Systems and Signal Processing*, Vol.16, No.6, 2002, PP.1025-1041.
- [14] Stephane Mallat, W. L. Hwang. "Singularity Detection and Processing with Wavelet." *IEEE Transactions on Information Theory*, Vol. 38, No. 2, March 1992.
- [15] Newland, D.E., "Wavelet Analysis of Vibration, Part 1: Theory." *ASME Journal of Vibration and Acoustics*, Vol.116, October 1994, PP.409-416.

- [16] Newland, D. E., "Wavelet Analysis of Vibration, Part 2: Wavelet maps" *ASME Journal of Vibration and Acoustics*, Vol.116, October 1994, PP.416-425.
- [17] J. Wang, R. X., GAO, R. Yan, "A hybrid approach to bearing defect diagnosis in rotary machines" *CIRP Journal of Manufacturing Science and Technology* 5, 2012, PP.357-365.
- [18] Howard, Ian, "A Review of Rolling Element Bearing Vibration Detection, Diagnosis and Prognosis - DSTO-RR-0013." *Aeronautical and Maritime Research Laboratory Airframes and Engines Division* – 1994.

## پی نوشت

---

1. Vibration Monitoring
2. Time-frequency analysis
3. Demodulation
4. Beat
5. Discrete Fourier Transform
6. Fast Fourier Transform (FFT)
7. Non-stationary
8. Short Time Fourier Transform
9. Wigner Weyl Transform
10. Cross Terms
11. Wavelet Transform
12. Admissible Condition
13. Scalogram
14. Phase Map
15. Modulus
16. MATLAB
17. Singular Points
18. Multi Resolution Analysis (MRA)
19. Downsampling
20. Detail Coefficient
21. Approximation Coefficient
22. Quadrature Mirror Filters (QMF)
23. Shannon Entropy
24. Best Tree
25. Features
26. Grey Moment
27. Mean Frequency
28. Spectral Estimation
29. Thresholding
30. Soft Thresholding
31. Soft Thresholding
32. Coiflet Wavelet
33. Resolution
34. Singularity Analysis
35. Lipschitz Exponent
36. Regularity
37. Modulus Maxima
38. Multiwavelet
39. Harmonic Wavelet
40. Envelope
41. Hilbert Transform
42. Renyi Entropy
43. Envelope Analysis
44. Order
45. Ball Pass Frequency of Outer Race (BPFO)
46. Ball Pass Frequency of Inner Race (BPFI)
47. Ball Spin Frequency (BSF)
48. Fundamental Train Frequency (= Cage frequency)
49. Contact angle
50. Gear Mesh Frequency